

V-17 構造力学と副座標

日新調査設計事務所 正員

石川 時信

要旨 天体力学も構造力学も副座標を用うれば其の結果は良好で極めて精度の高い結果がえられるが、以前若は其の計算手順が面倒であるに反し後者は逆に簡単な計算手順が極めて簡易であることの実例を示し、今後は一日も早く構造力学に副座標を用うることを周知徹底せしめることが現下の最緊急の要務であると述べたものである。

1. 荷重項を求むる例

図-1 のように部分等分布荷重 P の両端を λ と τ とし、原点 O_1, O_2 とする副座標 λ, τ を設くれば DB 区間の一点 E における曲げモーメント M は、

$$M = M_A + V_A x - \frac{1}{2} P \lambda^2 + \frac{1}{2} P \tau^2$$

$$EI \frac{d^2 y}{dx^2} = M_A x + \frac{1}{2} V_A x^2 - \frac{1}{2} P (\lambda^3 - \tau^3) \dots (1)$$

$$EI y = \frac{1}{2} M_A x^2 + \frac{1}{6} V_A x^3 - \frac{1}{24} P (\lambda^3 - \tau^3) x \dots (2)$$

式(1)は(2)は右端 B において、

$$M_A l + \frac{1}{2} V_A l^2 - \frac{1}{8} P (d^3 - b^3) = 0 \dots (3)$$

$$\frac{1}{2} M_A l^2 + \frac{1}{6} V_A l^3 - \frac{1}{24} P (d^3 - b^3) l = 0 \dots (4)$$

式(3) $\times l/3$ と式(4)より減ずれば、 V_A は消去せられ、

$$\frac{1}{6} M_A l^2 - \frac{1}{24} P \{ 3(d^3 - b^3) - 4(d^3 - b^3) \} l = 0$$

本式より、

$$M_A = \frac{1}{12} \frac{P}{l^2} \{ 3(d^3 - b^3) - 4(d^3 - b^3) \} l \dots (5)$$

M_B は式(5)の d, b を替うると a, c を以てすればよく、

$$M_B = \frac{1}{12} \frac{P}{l^2} \{ 3(a^3 - c^3) - 4(a^3 - c^3) \} l \dots (6)$$

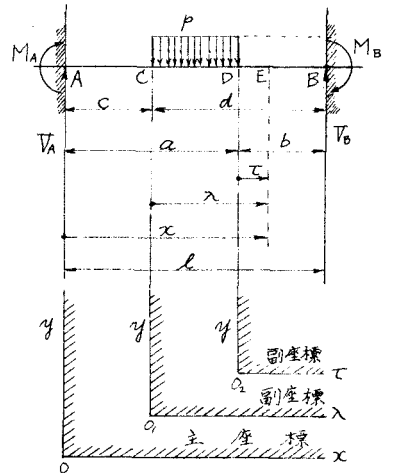
荷重 C_{ab}, C_{ba} は M_A, M_B の負号と取れる例があるから、小括弧内の文字の順序をその外、とすれば、

$$C_{ab} = \frac{1}{12} \frac{P}{l^2} \{ 3(d^3 - b^3) - 4(d^3 - b^3) \} l \dots (7)$$

$$C_{ba} = \frac{1}{12} \frac{P}{l^2} \{ 3(a^3 - c^3) - 4(a^3 - c^3) \} l \dots (8)$$

また、 $C_{ab} = \frac{1}{12} \frac{P}{l^2} \{ 3(b^3 - d^3) - 4(b^3 - d^3) \} l$, $C_{ba} = \frac{1}{12} \frac{P}{l^2} \{ 3(c^3 - a^3) - 4(c^3 - a^3) \} l$ とする方が慣習的である。

図-1 荷重と副座標



2. 弦の振動を求むる例

図-2 に示すように弦の振幅を Fourier 級数に従つて級数組にて表わせば、位置 x , 時刻 t において、

$$y = \sum_{n=1}^{\infty} a_n \sin \frac{n\pi x}{2} \cos \frac{n\pi \alpha t}{2} \dots \dots (1)$$

ただし、定数 a_n を図-2 に従つて次のように假定する。

$$\begin{aligned} a_n &= \int_0^2 h x \sin \frac{n\pi x}{4} dx - \int_0^1 2h\lambda \sin \frac{n\pi \lambda}{2} d\lambda \quad (n=1, 2, \dots) \\ &= h \left[-\frac{4}{n\pi} \left(x \cos \frac{n\pi x}{4} - \frac{4}{n\pi} \sin \frac{n\pi x}{4} \right) \right]_0^2 + \left[\frac{2}{n\pi} \left(x \cos \frac{n\pi x}{2} - \frac{2}{n\pi} \sin \frac{n\pi x}{2} \right) \right]_0^1 \\ &= h \left[-\frac{4}{n\pi} \left(2 \cos \frac{n\pi}{2} - \frac{4}{n\pi} \sin \frac{n\pi}{2} \right) \right] + 2h \left[\frac{2}{n\pi} \left(1 \cos \frac{n\pi}{2} - \frac{2}{n\pi} \sin \frac{n\pi}{2} \right) \right] \\ &= \left[-\frac{4h}{n\pi} \cos \frac{n\pi}{2} + \frac{8h}{n^2\pi^2} \sin \frac{n\pi}{2} \right] \quad n=1, 2, \dots \end{aligned}$$

本式最下段の第一項は $n=2, 4, \dots$ の場合は 0 となり消えるゆゑ、

$$a_n = \frac{8h}{n^2\pi^2} \sin \frac{n\pi}{2} \dots \dots (n=1, 3, \dots) \dots \dots (2)$$

となり、故に式(2)の a_n を式(1)の a_n に代入すれば、

$$\begin{aligned} y &= \sum \frac{8h}{n^2\pi^2} \frac{1}{n\pi} \sin \frac{n\pi}{2} \sin \frac{n\pi x}{2} \cos \frac{n\pi \alpha t}{2} \quad (n=1, 3, \dots) \\ &= \frac{8h}{\pi^3} \left[\sin \frac{\pi x}{2} \cos \frac{\pi \alpha t}{2} - \frac{1}{9} \sin \frac{3\pi x}{2} \cos \frac{3\pi \alpha t}{2} + \frac{1}{25} \sin \frac{5\pi x}{2} \cos \frac{5\pi \alpha t}{2} - \dots \right] \dots \dots (3) \end{aligned}$$

本式において $t=0, x=1$ とすれば弦の中央における初期振幅 $y=h$ であるが、 $t=0, x=0$ とすれば、弦の右端の初期振幅 $y=0$ であるから図-2 の通りとなる。

結論

以上は例として甚だ簡単であるが例1の Wilson 式の荷重項を求めた場合の如きは正に三才の童兒といへども能くするといふ位に簡易であり形も極めて整然として形そのものが推論の状態を表はしてゐる。このよりの方法ならば変断面の場合のラーメン公式を得ることも極めて容易である。

また例2の場合も定数 a_n を決定するに於て積分計算の際の下限界が常に 0 であり消去項が出来た場合が増え従つて算式が非常に省略される。

このように従来のように πy の第一座標(線)を一切を表現しようとするより、兎毎連立方程式を度々解くことにより論旨が不明になることがなく最初から最後の至極端を明らかに述べた上で左から簡易な計算を進め、直ちに結果に到達するゆゑ之は誤差に陥る怖れもなく安心と勇氣とを以つて構造力学の原動力を得るに於て用も広く信頼出来る設計計算が平易迅速に出来る。特に変断面部材がある時はラーメン計算は絶対必要の場合が多い。文献省略。

図-2 弦と副座標

